

УДК 621.317.1

*У статті на основі аналізу лінійних моделей виявлені типові режими роботи автогенераторних перетворювачів інформаційних сигналів (АГП ІС) певного класу, отримані умови реалізації і характеристики цих режимів. Отримані аналітичні співвідношення, які можуть служити основою для аналітичного розрахунку АГП*

*Ключові слова: автогенераторний перетворювач інформаційних сигналів (АГП ІС), область стійкості, двохпороговий автогенераторний датчик, додатковий реактивний елемент*

*В статье на основе анализа линейных моделей выявлены типовые режимы работы автогенераторных преобразователей информационных сигналов (АГП ИС) определенного класса, получены условия реализации и характеристики этих режимов. Получены аналитические соотношения, которые могут служить основой для аналитического расчета АГП*

*Ключевые слова: Автогенераторный преобразователь информационных сигналов (АГП ИС), область устойчивости, двухпороговый автогенераторный датчик, дополнительный реактивный элемент*

*In the article, typical modes of informative signals' autogenerative transformers (AGT IS) of certain class, based on the linear models analysis, have been revealed; realization conditions and modes description have been gotten. Analytical correlations that can serve as analytical calculation of AGT basis have been obtained*

*Key words: informative signals' autogenerative transformers (AGT IS), stability area, two-threshold autogenerative sensor, additional jet element*

# ИССЛЕДОВАНИЕ ТИПОВЫХ РЕЖИМОВ АВТОГЕНЕРАТОРНЫХ ПРЕОБРАЗОВАТЕЛЕЙ ИНФОРМАЦИОННЫХ СИГНАЛОВ

**В.А. Иваненко\***  
E-mail: zlata\_ne@bk.ru

**А.Н. Зеленин**

Кандидат технических наук, профессор,  
преподаватель\*

\*Кафедра «Сети связи»

Харьковский национальный университет  
радиоэлектроники  
пр. Ленина, 14, г. Харьков, 61166  
Контактный тел.: (057) 345-00-83

## 1. Введение

Развитие инфокоммуникационной структуры государства (региона, города и т.п.) приводит к конвергенции (взаимопроникновению и объединению) различных сетей (систем), что отражает тенденцию развития сложных инфокоммуникационных структур. Наиболее четко эта тенденция проявилась в области телекоммуникационных сетей, где различные по назначению и принципам организации сети операторов объединяются в сеть нового поколения (NGN) с целью расширения спектра и качества предоставляемых услуг. Однако телекоммуникационная сеть, как транспортная среда, начинает играть роль базового системного элемента и в

других сетях и системах, ранее развивавшихся как самостоятельные (обособленные) объекты человеческой деятельности. Наглядными примерами этого являются информационно-измерительные системы и автоматизированные системы управления, сети контроля медицинских параметров человека (дистанционная диагностика) в которых измерительная информация от контролируемого объекта (в данном случае – человека) передается в специализированный медицинский центр средствами проводной или радиосвязи и т.п. В странах Западной Европы по аналогичным принципам собирается информация со счетчиков расхода газа, воды, теплоносителей и т.п. от индивидуальных потребителей. Показательным примером «интеграции

онной» составляющей является единая информационно-измерительная и телекоммуникационная сеть современного автомобиля, обеспечивающая водителю широкий перечень – от информации от сотен датчиков по техническому состоянию агрегатов и узлов автомобиля до информации о местоположении автомобиля и предоставления типовых телекоммуникационных услуг (передача аудио, видео и т.п.). В этом же ряду и использование телекоммуникационной сети в здании для объединения элементов (датчиков) как систем охранной сигнализации, так и систем сбора измерительной информации по линии ЖКХ («умный дом»). Понятно, что подобных примеров можно привести очень много, но уже из того, что было сказано, можно уверенно говорить о том, что идея объединения инфокоммуникационных структур в единую сеть на основе и по принципам телекоммуникаций – отражает современные тенденции развития сложных инженерных систем.

До недавнего времени каждая из отдельных сетей развивалась по своим законам и за счет «внутренних ресурсов». Конвергенция сетей приводит к тому, что особенности каждой из сетей должны будут найти свое «отражение» в этой новой объединенной сети. Если использовать телекоммуникационную сетевую терминологию, то расширение услуг, предоставляемых сетью, требует пересмотра всей сетевой идеологии, т.к. «конвергенция» – это не просто «аддитивное» объединение сетей в одну, а реализация такой сети, которая будет обеспечивать требуемый перечень услуг за счет технологических ресурсов этой новой сети.

Такое положение поставило на повестку дня и новые практические вопросы: от согласования терминологии до формирования концептуальных подходов к проектированию как средств сетевой периферии, так и принципов взаимодействия элементов сети. Для иллюстрации такого положения укажем на то, что, например, применительно к автогенераторным датчикам специалисты систем контроля и управления используют термин «чувствительный элемент» (изменение параметра которого отражается в изменении одного или нескольких параметров генерируемых колебаний однозначно связанного с изменением контролируемого параметра), а в радиотехнике и телекоммуникациях это «отражение» называют термином «модуляция». Но если то и другое устройство (автогенераторный датчик и частотный модулятор) выполняют функции своеобразного преобразователя информационных сигналов, то может быть так его и называть (по крайней мере, в дальнейшем будущем мы будем использовать именно этот термин – автогенераторный преобразователь (АГП) информационных сигналов (ИС)). Это не терминологические нюансы, а предпосылка к поиску таких технологических подходов и таких схемотехнических решений, которые в принципе способны выполнить функции сетевого интерфейса в различных технических приложениях. Это предполагает «модульную идеологию» в построении таких преобразователей (применительно к АГП – базовый модуль, который системно «специализируется» внешними по отношению к нему техническими или программными средствами).

Отсюда следует вывод об актуальности исследований в части поиска методов и технических средств

системно универсальных преобразователей информационных сигналов, которые принципиально могут решать разноплановые задачи как вторичных измерительных преобразователей, так и преобразователей информационных сигналов в телекоммуникационных системах (модуляторы, расширители спектра и т.п.).

Один из возможных подходов к решению этой проблемы заложен в [2], где для формирования дискретных частотных сигналов использован способ изменения параметров колебательного контура путем включения в контур LC добавочных емкостей или индуктивностей. В зависимости от способа включения добавочной емкости  $C_4$  или индуктивности  $L_4$  возможны 4 варианта эквивалентных схем контуров LC (см. табл. 1). Однако, если в [2] сопротивление ключей (подключающих элементов R-типа), стремились обеспечить либо равным нулю, либо бесконечности, т.е. исключить влияние этих элементов на свойства контуров, то в нашем случае интерес представляют как раз режимы с конечными значениями сопротивлений подключающих элементов R-типа.

В данном сообщении рассмотрены лишь аспекты по выявлению особенностей АГП ИС на базе подобных LC контуров для реализации условий двухпороговых автогенераторных датчиков информационно-измерительных систем и АСУ ТП.

## 2. Исследование условий реализации типовых режимов

При разработке математических моделей, характеризующих АГП ИС, алгоритм формирования измерительного сигнала в которых может быть представлен следующим образом

$$R \Rightarrow (C, L) \Rightarrow \omega, \quad (1)$$

приняты следующие общие ограничения:

- элементы подключаемой цепи и цепь в целом не изменяют режима активного элемента по постоянному току;
- частотный диапазон АГП ИС достаточно низок, что делает правомерным исключение реактивных параметров активного элемента базового модуля АГП из моделей.

Дополнительные ограничения для каждой из моделей будут оговариваться в тексте.

Рассмотрим условия реализации алгоритма (1) на модели АГП ИС с параллельным подключением добавочного конденсатора  $C_d$  к основной емкости контура (схема АГП- $C_{\text{пар}}$ , рис. 1).

На рис. 1 приняты следующие обозначения:  $R^{(-)}$  – эквивалент представленного двухполюсником отрицательного сопротивления активного элемента базового модуля АГ;  $C$  – емкость контура базового модуля АГ;  $L$  и  $R_L$  – индуктивность и малое сопротивление (потери) катушки индуктивности базового модуля АГ;  $C_d$  – добавочная емкость и  $R_d$  – чувствительный элемент R-типа подключаемой цепи.

Поскольку алгоритм (1) предполагает наличие колебаний в системе, то условиями его реализации будут условия возникновения колебаний.

В момент возникновения колебаний АГП ИС можно рассматривать как линейную автоколебательную

систему, поэтому исследования начального этапа установления автоколебаний можно провести с помощью теории, использующей линейные дифференциальные уравнения.

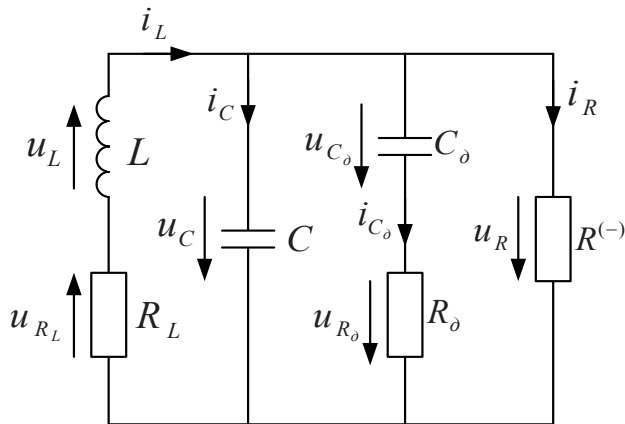


Рис. 1. Эквивалентная схема АГП-

Для выбранных в схеме (рис. 1) направлений токов и напряжений можно написать следующие соотношения:

$$\left\{ \begin{aligned} i_R &= \frac{u_{R^{(-)}}}{R^{(-)}} = \frac{-u_{R_0}}{|R_0|}; \\ i_L &= i_{C_\alpha} + i_{R_\alpha} + i_C; \\ i_{C_\alpha} &= C_\alpha \frac{du_{C_\alpha}}{dt}; \\ i_C &= C \frac{du_C}{dt}; \\ u_L &= L \frac{di_L}{dt}; \\ u_{C_\alpha} + i_{C_\alpha} R_\alpha &= u_{R_\alpha}; \\ i_L R_L + u_L &= u_{R_L}; \\ i_L R_L + u_L &= -u_C, \end{aligned} \right. \quad (2)$$

где  $|R_0|$  – модуль отрицательного сопротивления активного элемента в рабочей точке.

В качестве искомой функции выберем ток  $i_L$ , протекающий в индуктивной ветви контура.

После несложных преобразований и приведения членов при производных одного порядка получаем линейное однородное дифференциальное уравнение третьего порядка, описывающее работу АГП-С<sub>пар</sub> в момент возникновения колебаний:

$$\begin{aligned} & CL \frac{d^3 i_L}{dt^3} + \left[ \frac{L}{R_\alpha} \left( 1 + \frac{C}{C_\alpha} \right) + R_L C - \frac{L}{|R_0|} \right] \frac{d^2 i_L}{dt^2} + \\ & + \left[ 1 + \frac{R_L}{R_\alpha} \left( 1 + \frac{C}{C_\alpha} \right) - \frac{L}{C_\alpha R_\alpha |R_0|} - \frac{R_L}{|R_0|} \right] \frac{di_L}{dt} + \\ & + \frac{1}{C_\alpha R_\alpha} \left( 1 - \frac{R_L}{|R_0|} \right) i_L = 0 \end{aligned} \quad (3)$$

Это уравнение можно записать в общем виде, как

$$a_0 \frac{d^3 i_L}{dt^3} + a_1 \frac{d^2 i_L}{dt^2} + a_2 \frac{di_L}{dt} + a_3 i_L = 0, \quad (4)$$

где

$$a_0 = CL,$$

$$a_1 = \frac{L}{R_\alpha} \left( 1 + \frac{C}{C_\alpha} \right) + R_L C - \frac{L}{|R_0|},$$

$$a_2 = 1 + \frac{R_L}{R_\alpha} \left( 1 + \frac{C}{C_\alpha} \right) - \frac{L}{C_\alpha R_\alpha |R_0|} - \frac{R_L}{|R_0|},$$

$$a_3 = \frac{1}{C_\alpha R_\alpha} \left( 1 - \frac{R_L}{|R_0|} \right).$$

Решение уравнения (4), как известно [3], имеет вид:

$$i_L = \sum_{i=1}^3 A_i e^{p_i t}, \quad (5)$$

где  $A_i$  – постоянные, а  $p_i$  – корни характеристического уравнения

$$a_0 p^3 + a_1 p^2 + a_2 p + a_3 = 0, \quad (6)$$

полученного из (3) или (4) заменой  $i_L = e^{pt}$ .

По критерию Гурвица необходимыми и достаточными условиями устойчивости (покоя) системы, описываемой линейным дифференциальным уравнением третьего порядка, являются неравенства [1]:

$$a_0 > 0, \quad a_1 > 0, \quad a_2 > 0, \quad a_3 > 0, \quad a_1 a_2 - a_3 a_0 > 0. \quad (7)$$

Условия устойчивости (7) удобно рассматривать в некотором пространстве параметров схемы. Для этого перейдем к безразмерным относительным единицам.

Применив в (4) замену

$$\frac{R_L}{|R_0|} = r_L; \quad \frac{R_\alpha}{|R_0|} = r; \quad \frac{L}{C|R_0|} = p'; \quad pC|R_0| = p''; \quad \frac{C}{C_\alpha} = \alpha, \quad (8)$$

где  $p = \frac{di_L}{dt}$ , а  $p' = \frac{di_L}{d\tau}$  – производная по новому относительному времени  $\tau$ , связанному со временем  $t$  соотношением  $\tau = \frac{t}{C|R_0|}$ , и, вычислив значения производных  $p'$  следующим образом:

$$\begin{aligned} \frac{di_L}{dt} &= \frac{di_L}{d\tau} \cdot \frac{d\tau}{dt} = \frac{1}{C|R_0|} \cdot \frac{di_L}{d\tau}; \\ \frac{d^2 i_L}{dt^2} &= \frac{d \left( \frac{di_L}{dt} \right)}{dt} = \frac{d \left( \frac{1}{C|R_0|} \cdot \frac{di_L}{d\tau} \right)}{d\tau} = \frac{1}{C^2 |R_0|^2} \cdot \frac{d^2 i_L}{d\tau^2}; \\ \frac{d^3 i_L}{dt^3} &= \frac{1}{C^3 |R_0|^3} \cdot \frac{d^3 i_L}{d\tau^3}, \end{aligned} \quad (9)$$

получим характеристическое уравнение схемы АГП-С<sub>пар</sub> в относительных единицах:

$$\rho' p'^3 + p'^2 \left[ \frac{\rho'(1+\alpha)}{r} + r_L - \rho' \right] + \left[ 1 + \frac{r_L(1+\alpha)}{r} - \frac{\rho'\alpha}{r} - r_L \right] + \frac{\alpha}{r}(1-r_L) = 0 \quad (10)$$

или в общем виде:

$$a'_0 p'^3 + a'_1 p'^2 + a'_2 p' + a'_3 = 0, \quad (11)$$

где  $a'_0 = \rho'$ ;

$$a'_1 = \frac{\rho'(1+\alpha)}{r} + r_L - \rho';$$

$$a'_2 = 1 + \frac{r_L(1+\alpha)}{r} - \frac{\rho'\alpha}{r} - r_L;$$

$$a'_3 = \frac{\alpha}{r}(1-r_L).$$

В общем случае для схемы АГП-С<sub>пар</sub> можно построить трехмерное пространство параметров, в котором параметры схемы являются декартовыми координатами (рис. 2). Условия (7) ставят в соответствие параметрам схемы координаты изображающей точки в пространстве параметров  $(r, \rho', r_L)$ , находящейся внутри объема, ограниченного поверхностями, определяемыми условиями:  $a'_3 = 0$  и

$$a'_1 a'_2 - a'_3 a'_0 = 0. \quad (12)$$

На рис. 2 эти поверхности заштрихованы.

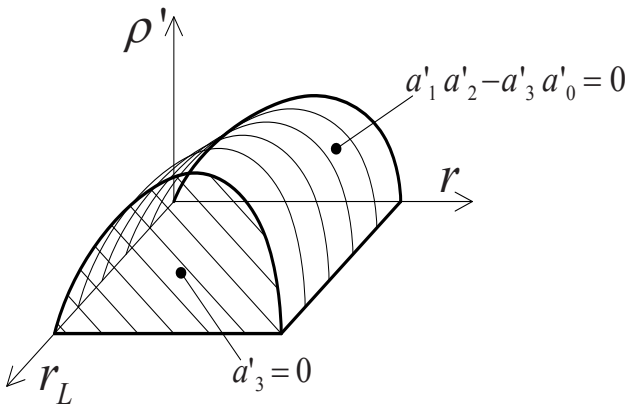


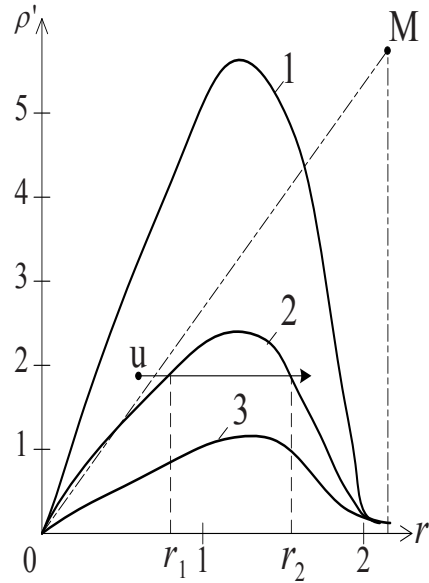
Рис. 2. Трехмерное пространство параметров

Если параметры схемы таковы, что всегда выполняется условие (условие отсутствия аperiodической неустойчивости),  $a'_0$  положительно из физических соображений, то без потерь общности можно поставить в соответствие параметрам схемы изображающую точку в плоскости параметров  $(r, \rho')$ , как показано на рис. 3. При этом в схеме может возникнуть колебательная неустойчивость [3].

Штрихпунктирными линиями обозначены асимптоты, построенные по уравнениям  $a'_1 = 0$  и  $a'_2 = 0$  (для  $\alpha = 0,2$ ), к которым при соответствующих значениях параметров схемы стремится граница области устойчивости (12). Координаты точки М пересече-

ния асимптот определяются из соотношения  $a'_1 = a'_2$  и при малых потерях  $r_L$  катушки индуктивности равны

$$M \left[ 1 + \alpha; \frac{1+\alpha}{\alpha} \right]. \quad (13)$$



1 -  $\alpha = 0,1$ ; 2 -  $\alpha = 0,2$ ; 3 -  $\alpha = 0,3$   
Рис. 3. Области устойчивости схемы АГП-С<sub>пар</sub>

Как видно из рис. 3 при фиксированных значениях  $\rho' < \rho'_1$  ( $\rho'_1$  – максимальное значение характеристического сопротивления LC-контура в зоне устойчивости) и изменении  $r$  от нуля до значений  $r \gg 1 + \alpha$ , изображающая точка М дважды при различных значениях  $r_1$  и  $r_2$  пересекает границу области устойчивости. Причем, первый раз, когда АГП-С<sub>пар</sub> работает на срыв колебаний ( $r_1$ ), и второй – на возникновение ( $r_2$ ). Генерация возможна при условии  $r_1 > r > r_2$ .

Если соотношение (12) представить как  $F(r, \rho') = 0$ , то значение  $\rho'_1$  можно определить из системы уравнений:

$$\begin{cases} F(r, \rho') = 0; \\ \frac{\partial F(r, \rho')}{\partial r} = 0. \end{cases} \quad (14)$$

После подстановки коэффициентов  $a'_i$  ( $i = 0, 1, \dots, 3$ ) из (11) в (12) первое уравнение системы (14) преобразуется к виду:

$$\begin{aligned} & \rho'^2 \alpha [(1+\alpha) - r] - \\ & - \rho' \{ [(1+\alpha) - r] [r(1-r_L) + r_L(1+\alpha)] - \alpha r \} - \\ & - r_L r [r(1-r_L) + r_L(1+\alpha)] = 0. \end{aligned} \quad (15)$$

а второе – к виду:

$$\gamma = \frac{1}{2} \left[ \frac{\rho'}{\rho' - \gamma_L} + \frac{\rho' \alpha - \gamma_L (1 + \alpha)}{1 - \gamma_L} \right]. \tag{16}$$

Совместное решение системы уравнений (15) и (16) определяет значение  $\rho'_1$ . Аналитическая зависимость для  $\rho'_1$  довольно громоздка, поэтому для инженерных оценок можно воспользоваться значением  $\rho'_1$ , полученным из совместного решения (15) и (16) при  $\gamma_L = 0$ :

$$\rho'_{1,2} = \frac{1 + 2\alpha}{\alpha} \pm \frac{2}{\alpha} \sqrt{\alpha + \alpha^2}. \tag{17}$$

В пределах рассматриваемой области устойчивости, где значение  $\rho'_1$  меньше ординаты точки М пересечения асимптот (рис. 3 и (13)), для определения значения  $\rho'_1$  необходимо пользоваться соотношением

$$\rho'_1 = \frac{1 + 2\alpha}{\alpha} - \frac{2}{\alpha} \sqrt{\alpha + \alpha^2}. \tag{18}$$

Для анализа поведения границы области устойчивости получим упрощенное уравнение границы, предположив в (15)  $\gamma_L = 0$  и решив его относительно  $\rho'$ :

$$\rho' = \frac{\gamma(1 - \gamma)}{\alpha[(1 + \alpha) - \gamma]}. \tag{19}$$

Из (19) следует, что с ростом величины  $\alpha$  значения  $\rho'$  уменьшаются. Это подтверждается графиками (рис. 3), построенными для различных значений  $\alpha$ . Полагая в (15)  $\gamma = 0$ , получим выражение для  $\rho'_2$ :

$$\rho'_2 = \frac{\gamma_L}{\alpha} (1 + \alpha). \tag{20}$$

При  $\rho' < \rho'_2$  зона устойчивости распространяется вплоть до значений  $\gamma = 0$ . Условия реализации двух-порогового режима в схеме АГП-С<sub>нар</sub> можно записать в виде:

$$\rho'_2 < \rho' < \rho'_1. \tag{21}$$

При значениях  $\alpha \gg \gamma_L$ ,  $\rho'_2 \approx 0$ .

Определим «ширину» области устойчивости, т.е. величину  $\Delta\gamma = \gamma_2 - \gamma_1$  ( $\gamma_2 > \gamma_1$ ).

Для этого запишем уравнение границы (15) относительно  $\gamma$ :

$$\begin{aligned} &\gamma^2(1 - \gamma_L)(\rho' - \gamma_L) - \gamma \{ \rho'(1 - \gamma_L) + (\rho' - \gamma_L)[\rho' \alpha - \gamma_L(1 + \alpha)] \} + \\ &+ \rho'(1 + \alpha)[\rho' \alpha - \gamma_L(1 + \alpha)] = 0. \end{aligned} \tag{22}$$

Решение этого уравнения при малых потерях  $\gamma_L \approx 0$

$$\gamma_{1,2} = \frac{1}{2}(1 + \rho' \alpha) \pm \sqrt{\frac{1}{4}(1 + \rho' \alpha)^2 - \rho' \alpha(1 + \alpha)}. \tag{23}$$

Отсюда

$$\Delta\gamma = \gamma_2 - \gamma_1 = \sqrt{(1 + \rho' \alpha)^2 - 4\rho' \alpha^2}. \tag{24}$$

Из полученных соотношений видно, что «ширину» области устойчивости в параметрах  $\gamma$  можно изменять, варьируя значения  $\rho'$  и  $\alpha$ . При этом должно выполняться соотношение (21).

Полученные основные соотношения для коэффициентов дифференциального уравнения (3) в размерных (4) и относительных (11) единицах, соотношения для  $\rho'_1$  (18) и  $\rho'_2$  (20), для ширины зоны «молчания» (24), упрощенное уравнение границы области устойчивости (19) и значения  $\gamma$  срыва и возникновения колебаний (23) внесены в табл. 1 и являются составной частью аналитической совокупности, определяемой как математическая модель рассматриваемой схемы.

Аналогичные зависимости для АГП ИС на основе трех остальных включений добавочных реактивностей получены теми же методами и внесены в табл. 1.

По коэффициентам характеристического уравнения (6) можно определить частоту колебаний, соответствующую положению изображающей точки на границе области устойчивости. Согласно [1], частота определяется из соотношения

$$\omega = \sqrt{\frac{a_2}{a_0}} = \sqrt{\frac{a_3}{a_1}}. \tag{25}$$

При малых значениях  $\alpha = \frac{C}{C_L}$ , как видно из рис. 3, граница области устойчивости стремится к своим асимптотам, определяемым соотношениями  $a_1 = 0$  и  $a_2 = 0$ .

Поэтому, чтобы значение частоты не обращалось в ноль и не стремилось к бесконечности, частота на левой границе по рис. 3 определяется соотношением  $\omega_1 = \sqrt{\frac{a_3}{a_1}}$  или в относительных единицах с учетом (8)

$$\omega'_1 = \sqrt{\frac{\alpha}{1 + \alpha - \gamma}}, \tag{26}$$

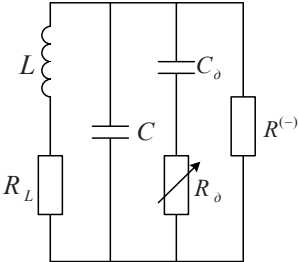
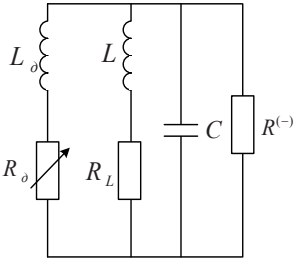
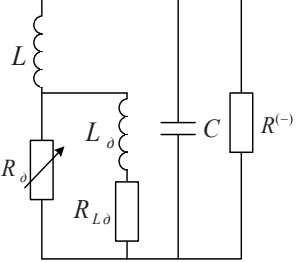
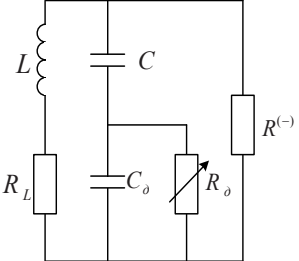
где  $\omega'_1 = \omega_1 \sqrt{LC}$ , а частота на правой границе – из соотношения  $\omega_2 = \sqrt{\frac{a_2}{a_0}}$  или в относительных единицах

$$\omega'_2 = \sqrt{\frac{\gamma - \alpha\rho'}{\gamma}}, \tag{27}$$

где  $\omega'_2 = \omega_2 \sqrt{LC}$ . Соотношения (26) и (27) получены при пренебрежимо малых потерях катушки индуктивности  $R_L \approx 0$ . Для количественного определения частот  $\omega'_1$  и  $\omega'_2$  при выбранных  $\alpha$  и  $\rho'$  необходимо в соотношения (26) и (27) подставить выражения для  $\gamma_{1,2}$  срыва колебаний из табл. 1.

Выражения для частоты, аналогичные (26) и (27) определены для трех оставшихся схем преобразователей ИС и занесены в табл. 1.

Таблица 1

Эквивалентная схема и ее обозначение	Коэффициенты дифференциального уравнения $a_0 \frac{d^3 x}{dt^3} + a_1 \frac{d^2 x}{dt^2} + a_2 \frac{dx}{dt} + a_3 = 0$ , где $x$ – ток или напряжение
<p style="text-align: center;">АПН-С<sub>пар</sub></p> 	$a_0 = CL;$ $a_1 = \frac{L}{R_4} \left( 1 + \frac{C}{C_4} \right) + R_L C - \frac{L}{ R_0 };$ $a_2 = 1 + \frac{R_L}{R_4} \left( 1 + \frac{C}{C_4} \right) - \frac{L}{C_4 R_4  R_0 } - \frac{R_L}{ R_0 };$ $a_3 = \frac{1}{C_4 R_4} \left( 1 - \frac{R_L}{ R_0 } \right)$
<p style="text-align: center;">АПН-Л<sub>пар</sub></p> 	$a_0 = CL;$ $a_1 = \frac{L}{L_4} \left( RC - \frac{L_4}{ R_0 } + R_L C \right);$ $a_2 = 1 + \frac{L}{L_4} \left( 1 - \frac{R}{ R_0 } \right) + \frac{C R_L R}{L_4} - \frac{R_L}{ R_0 };$ $a_3 = \frac{1}{L_4} \left( R + R_L - \frac{R_L R}{ R_0 } \right)$
<p style="text-align: center;">АПН-Л<sub>пос</sub></p> 	$a_0 = LC;$ $a_1 = CR + \frac{LCR}{L_4} \left( 1 + \frac{R_{L_4}}{R} \right) - \frac{L}{ R_0 };$ $a_2 = \frac{CRR_{L_4}}{L_4} + 1 - \frac{R}{ R_0 } - \frac{L(R + R_{L_4})}{L_4  R_0 };$ $a_3 = \frac{R}{L_4} \left[ 1 + R_{L_4} \left( \frac{1}{R} - \frac{1}{ R_0 } \right) \right]$
<p style="text-align: center;">АПН-С<sub>пос</sub></p> 	$a_0 = LC;$ $a_1 = L \left[ \frac{C}{RC_4} - \frac{1}{ R_0 } \left( 1 + \frac{C}{C_4} \right) \right] + R_L C;$ $a_2 = \left( 1 + \frac{C}{C_4} \right) \left( 1 - \frac{R_L}{ R_0 } \right) + \frac{R_L C}{RC_4} - \frac{L}{RC_4  R_0 };$ $a_3 = \frac{1}{RC_4} \left( 1 - \frac{R_L}{ R_0 } \right)$

<p>Коэффициенты дифференциального уравнения в относительных единицах <math>r_L = \frac{R_L}{ R_0 }</math>; <math>r = \frac{R}{ R_0 }</math>;</p> $\rho' = \frac{L}{C R_0 ^2}$	<p>Уравнение границы области устойчивости. Величина <math>\Delta r</math> зоны «молчания» (при <math>r_L = 0</math>)</p>
$\alpha = \frac{C}{C_4}$ $a'_0 = \rho'$ $a'_1 = \frac{\rho'(1+\alpha)}{\alpha} + r_L - \rho'$ $a'_2 = 1 + \frac{r_L(1+\alpha)}{r} - \frac{\rho'\alpha}{r} - r_L$ $a'_3 = \frac{\alpha(1-r_L)}{r}$	$\rho' = \frac{r(1-r)}{\alpha(1+\alpha-r)}$ $\Delta r = \sqrt{(1-\rho'\alpha)^2 - 4\rho'\alpha^2}$
$l = \frac{L_4}{L}$ $a'_0 = \rho'$ $a'_1 = \frac{r}{l} - \rho' + r_L$ $a'_2 = 1 - r_L + \frac{1-r}{l} - \frac{r_L r}{\rho' l}$ $a'_3 = \frac{(r+r_L-r r_L)}{\rho' l}$	$\rho' = \frac{r(1-r)}{l(1+l-r)}$ $\Delta r = \sqrt{(1-\rho' l)^2 - 4\rho' l^2}$
$l = \frac{L}{L_4}$ $a'_0 = \rho'$ $a'_1 = r(1+l) + l r_{L_4} - \rho'$ $a'_2 = 1 - r(1+l) - l r_{L_4} \left(1 - \frac{r}{\rho'}\right)$ $a'_3 = \frac{l(r+r_{L_4} - r r_{L_4})}{\rho'}$	$r' = \frac{r^2(1+l)^2 - r}{r(1+l) - 1}$ $\Delta r = \frac{\sqrt{[\rho'(1+l)+1]^2 - 4\rho'(1+l)^2}}{(1+l)^2}$
$\alpha = \frac{C_4}{!}$ $a'_0 = \rho'$ $a'_1 = r_L - \rho' \left(1 + \frac{1}{\alpha} - \frac{1}{\alpha r}\right)$ $a'_2 = \left(1 + \frac{1}{\alpha}\right)(1-r_L) + \frac{r_L - \rho'}{\alpha r}$ $a'_3 = \frac{1-r_L}{\alpha r}$	$\rho' = \frac{r^2(1+\alpha)^2 - r}{r(1+\alpha) - 1}$ $\Delta r = \frac{\sqrt{[\rho'(1+\alpha)+1]^2 - 4\rho'(1+\alpha)^2}}{(1+\alpha)^2}$

Значения $\gamma$ срыва и возникновения колебаний. Значения $\rho'_1$ и $\rho'_2$	Частота колебаний на границах 1 и 2 ( $\omega' = \omega\sqrt{LC}$ )
$\gamma_{2,1} = \frac{1}{2}(1+\rho'\alpha) \pm \sqrt{\frac{1}{4}(1+\rho'\alpha)^2 - \rho'\alpha(1+\alpha)}$ $\rho'_1 = \frac{1}{\alpha} + 2 - \frac{2\sqrt{\alpha+\alpha^2}}{\alpha}$ $\rho'_2 = \frac{\gamma_L(1+\alpha)}{\alpha}$	$\omega'_1 = \sqrt{\frac{\alpha}{1+\alpha-\gamma}}$ $\omega'_2 = \sqrt{\frac{\gamma-\rho'\alpha}{\gamma}}$
$\gamma_{2,1} = \frac{1}{2}(1+\rho'l) \pm \sqrt{\frac{1}{4}(1+\rho'l)^2 - \rho'l(1+l)}$ $\rho'_1 = \frac{1}{l} + 2 - \frac{2\sqrt{1+l^2}}{l}$ $\rho'_2 = \frac{l\gamma_L}{(1+l)}$	$\omega'_1 = \sqrt{\frac{1+l-\gamma}{l}}$ $\omega'_2 = \sqrt{\frac{\gamma}{\gamma-\rho'l}}$
$\gamma_{2,1} = \frac{1+\rho'(1+l)}{2(1+l)^2} \pm \sqrt{\frac{[1+\rho'(1+l)]^2}{4(1+l)^4} - \frac{\rho'}{(1+l)^2}}$ $\rho'_1 = \frac{1+2l}{1+l} - \frac{2\sqrt{1+l^2}}{1+l}$ $\rho'_2 \approx 0$	$\omega'_1 = \sqrt{1-\gamma(1+l)}$ $\omega'_2 = \sqrt{\frac{l\gamma}{\gamma(1+l)-\rho'}}$
$\gamma_{2,1} = \frac{1+\rho'(1+\alpha)}{2(1+\alpha)^2} \pm \sqrt{\frac{[1+\rho'(1+\alpha)]^2}{4(1+\alpha)^4} - \frac{\rho'}{(1+\alpha)^2}}$ $\rho'_1 = \frac{1+2\alpha}{1+\alpha} - \frac{2\sqrt{\alpha+\alpha^2}}{1+\alpha}$ $\rho'_2 \approx \gamma_L$	$\omega'_1 = \sqrt{\frac{1}{1-\gamma(1+\alpha)}}$ $\omega'_2 = \sqrt{\frac{\gamma(1+\alpha)-\rho'}{\gamma\alpha}}$

### 3 Выводы

Анализ математических соотношений табл. 1 и графиков областей устойчивости позволяет сделать следующие выводы:

- различные частоты срыва и возникновения автоколебаний, между которыми есть определенной ширины зона «молчания» (отсутствия автоколебаний), делает обоснованной «привязку» этих состояний АГП ИС с системными параметрами «ниже нормы» – «норма» – «больше нормы» и сопротивлением чувствительного элемента R-типа;

- зона «молчания» по величине (в координатах значений резистивности чувствительного элемента R-типа), а также значения частот срыва (возникновения) колебаний могут варьироваться как изменением

относительного характеристического сопротивления контура базового АГ, так и изменением соотношений подключаемой и одноименной с нею реактивности контура базового АГ.

### Литература

1. Гоноровский, И.С. Радиотехнические цепи и сигналы [Текст]: Учебник для ВУЗов / И.С. Гоноровский. – 4-е изд. перераб. и доп. – М: Радио и связь, 1986. – 273 с.
2. Лучук А.М. Устройства передачи дискретной информации [Текст] / А.М. Лучук. – К.: Техніка, 1978. – 260 с.
3. Дискретные средства преобразования и сбора измерительной информации [Текст] / А.А. Абдуллаев, И.А. Набиев, М.Ш. Гусейнов, Д.Г. Исаев. – М.: Машиностроение, 1982. – 144 с.